

УДК 547.738 + 547.398.4 + 547.386 + 547.368 + 548.737

## ВЗАЙМОДЕЙСТВИЕ 4-ФТОР-5-ПОЛИФТОРАЛКИЛ-1,2-ДИТИОЛ-3-ТИОНОВ С ВТОРИЧНЫМИ АМИНАМИ

И.Н.Фесун, В.М.Тимошенко, Д.В.Полторак, А.Н.Чернега, Ю.Г.Шермолович

Институт органической химии НАН Украины,  
02094, г. Киев, ул. Мурманская, 5. E-mail: sherm@bpci.kiev.ua

**Ключевые слова:** 1,2-дитиол-3-тионы;  $\alpha,\beta$ -ненасыщенные тиоамиды; полифторалкил; рентгеноструктурное исследование

**Реакции 4-фтор-5-полифторалкил-1,2-дитиол-3-тионов с вторичными алифатическими аминами происходят с раскрытием гетероцикла и образованием после алкилирования промежуточного продукта  $\beta$ -алкилтио- $\alpha,\beta$ -ненасыщенных тиоамидов. При нагревании с избытком морфолина 4-фтор-5-трифторметил-1,2-дитиол-3-тион образует тиоморфолид 4,4,4-трифтор-3-морфолино-кротоновой кислоты, а 4-фтор-5-тетрафторэтил-1,2-дитиол-3-тион — 4,4,5,5-тетрафтор-1,1-диморфолино-4-илпент-1-ен-3-тион.**

**THE INTERACTION OF 4-FLUORO-5-POLYFLUOROALKYL-1,2-DITHIOL-3-THIONES WITH SECONDARY AMINES**

*I.M.Fesun, V.M.Timoshenko, D.V.Poltorak, A.N.Chernega, Yu.G.Shermolovich*

*The reactions of 4-fluoro-5-polyfluoroalkyl-1,2-dithiole-3-thiones with secondary aliphatic amines and subsequent alkylation of the intermediate formed lead to  $\beta$ -alkylthio- $\alpha,\beta$ -unsaturated thioamides. Heating of 4-fluoro-5-trifluoromethyl-1,2-dithiole-3-thione with the excess of morpholine of thiomorpholide of 4,4,4-trifluoro-3 morpholinocrotonic acid and 4-fluoro-5-tetrafluoroethyl-1,2-dithiole-3-thione gives 4,4,5,5-tetrafluoro-1,1-di-morpholino-4-ylpent-1-ene-3-thione under the same conditions.*

**ВЗАЄМОДІЯ 4-ФТОР-5-ПОЛІФТОРАЛКІЛ-1,2-ДИТИОЛ-3-ТИОНІВ з ВТОРИННИМИ АМІНАМИ**

*І.М.Фесун, В.М.Тимошенко, Д.В.Полторак, О.М.Чернега, Ю.Г.Шермолович*

*Реакції 4-фторо-5-поліфтороалкіл-1,2-дитіол-3-тіонів з вторинними альфатичними амінами передбігають з розкриттям гетероциклу і утворенням після алкілювання проміжного продукту  $\beta$ -алкілтио- $\alpha,\beta$ -ненасичених тіоамідів. При нагріванні з надлишком морфоліну 4-фторо-5-трифторметил-1,2-дитіол-3-тіон утворює тіоморфолід 4,4,4-трифторо-3-морфолінокротонової кислоти, а 4-фторо-5-тетрафтороетил-1,2-дитіол-3-тіон — 4,4,5,5-тетрафторо-1,1-диморфоліно-4-ілпент-1-ен-3-тіон.*

Производные 1,2-дитиол-3-тионов вызывают интерес не только широким спектром биологической активности, но и возможностью использования в синтезах новых серусодержащих соединений [1, 2].

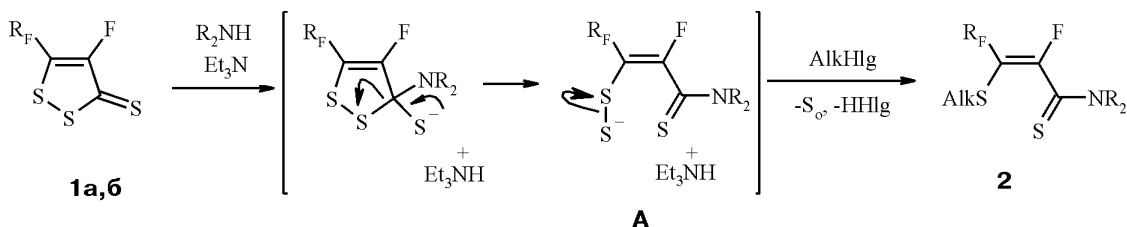
Ранее мы сообщали о реакциях 4-фтор-5-полифторалкил-1,2-дитиол-3-тионов 1а,б с гидроксиламином и гидразинами, протекающих с сохранением гетероцикла путем замещения экзо-циклического атома серы и образования соответствующих оксимов и гидразонов [3]. В данной работе описаны реакции дитиолтионов 1 с вторичными алифатическими аминами, протекающие с раскрытием кольца.

Мы нашли, что 4-фтор-5-полифторалкил-1,2-дитиол-3-тионы 1а,б реагируют с вторичными алкилами с образованием после алкилирования промежуточного продукта раскрытия цикла не  $\beta$ -аминодитиоакрилатов, как описано для ре-

акций незамещенного 1,2-дитиол-3-тиона с аминами [3], а  $\beta$ -алкилтио- $\alpha,\beta$ -ненасыщенных тиоамидов 2 (схема 1, табл. 1).

Контроль за ходом реакций методом спектроскопии ЯМР  $^{19}\text{F}$  позволил предложить возможное направление их протекания и определить оптимальное соотношение реагентов. При использовании эквимолярных соотношений дитиолтионов и амина в реакционной смеси остается значительное количество исходного дитиолтиона. При использовании избытка амина сигналы исходных дитиолтионов исчезают через 20 мин, а сигналы соединений 2 являются основными. Сравнительно умеренные выходы выделенных соединений 2а-в, 2д-ж (табл. 1) объясняются потерями при их хроматографической очистке.

Механизм реакций дитиолтионов с вторичными аминами был рассмотрен в работе [3], в которой была предложена первоначальная атака нук-



1, R<sub>F</sub> = CF<sub>3</sub>(a), HCF<sub>2</sub>CF<sub>2</sub>(б)

Схема 1

Таблиця 1

Выходы, свойства и данные элементного анализа соединений 2

№ соединения	R <sub>F</sub>	R <sub>2</sub>	Alk	Выход, %	Внешний вид, R <sub>f</sub> (элюент)	Найдено, %		Формула	Вычислено, %	
						N	S		N	S
2а	CF <sub>3</sub>	(CH <sub>2</sub> CH <sub>2</sub> ) <sub>2</sub> O	CH <sub>3</sub>	56	желтое масло, 0,38 (CHCl <sub>3</sub> )	4,80	22,25	C <sub>9</sub> H <sub>11</sub> F <sub>4</sub> NOS <sub>2</sub>	4,84	22,17
2б	H(CF <sub>2</sub> ) <sub>2</sub>	(CH <sub>2</sub> CH <sub>2</sub> ) <sub>2</sub> O	CH <sub>3</sub>	54	желтое масло, 0,75 (CH <sub>3</sub> CN-C <sub>6</sub> H <sub>6</sub> , 1:1)	4,30	19,52	C <sub>10</sub> H <sub>12</sub> F <sub>5</sub> NOS <sub>2</sub>	4,36	19,96
2в	CF <sub>3</sub>	(CH <sub>2</sub> CH <sub>2</sub> ) <sub>2</sub> O	CH <sub>2</sub> CH=CH <sub>2</sub>	52	желтое масло, 0,5 (CHCl <sub>3</sub> -гексан, 10:1)	4,37	20,40	C <sub>11</sub> H <sub>13</sub> F <sub>4</sub> NOS <sub>2</sub>	4,44	20,34
2г	H(CF <sub>2</sub> ) <sub>2</sub>	(CH <sub>2</sub> CH <sub>2</sub> ) <sub>2</sub> O	CH <sub>2</sub> CH=CH <sub>2</sub>	86	желтое масло	3,97	18,53	C <sub>12</sub> H <sub>14</sub> F <sub>5</sub> NOS <sub>2</sub>	4,03	18,46
2д	CF <sub>3</sub>	(C <sub>2</sub> H <sub>5</sub> ) <sub>2</sub>	CH <sub>2</sub> CH=CH <sub>2</sub>	57	желтое масло, 0,51 (гексан-CHCl <sub>3</sub> , 4:1)	4,61	21,34	C <sub>11</sub> H <sub>15</sub> F <sub>4</sub> NS <sub>2</sub>	4,65	21,28
2е	H(CF <sub>2</sub> ) <sub>2</sub>	(C <sub>2</sub> H <sub>5</sub> ) <sub>2</sub>	C <sub>2</sub> H <sub>5</sub>	56	оранжевое масло, 0,40 (гексан-CHCl <sub>3</sub> , 1:1)	4,27	20,04	C <sub>11</sub> H <sub>16</sub> F <sub>5</sub> NS <sub>2</sub>	4,36	19,95
2ж	H(CF <sub>2</sub> ) <sub>2</sub>	(CH <sub>3</sub> ) <sub>2</sub>	CH <sub>2</sub> C <sub>6</sub> H <sub>4</sub> -Br-п	56	желтое масло, 0,55 (CHCl <sub>3</sub> )	3,17 <sup>a</sup>	14,80	C <sub>14</sub> H <sub>13</sub> BrF <sub>5</sub> NS <sub>2</sub>	3,23 <sup>a</sup>	14,77
2з	H(CF <sub>2</sub> ) <sub>2</sub>	(CH <sub>2</sub> CH <sub>2</sub> ) <sub>2</sub> O	CH <sub>2</sub> C <sub>6</sub> H <sub>4</sub> -Br-п	80	желтые кристаллы <sup>b</sup>	2,82 <sup>b</sup>	13,40	C <sub>16</sub> H <sub>15</sub> BrF <sub>5</sub> NOS <sub>2</sub>	2,94 <sup>b</sup>	13,46

<sup>a</sup> - Найдено, %: Br - 18,43. Вычислено, %: Br - 18,40;

<sup>b</sup> - Т.пл. - 65-66°C (из гексана);

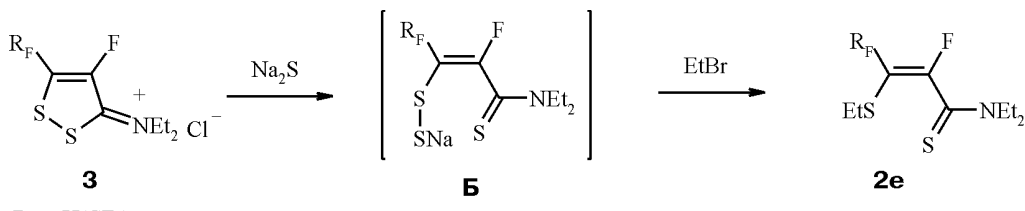
<sup>c</sup> - Найдено, %: Br - 16,83. Вычислено, %: Br - 16,78.

леофила по 5-ому положению цикла с последующим расщеплением связи C(5)-S(1). Мы полагаем, что для изучаемых нами фторсодержащих дитиолтионов 1 на первом этапе происходит, как и в случае реакций дитиолтионов 1 с гидроксиламином и гидразинами [3], присоединение амина по тиокарбонильной группе. Последующее раскрытие дитиоленового цикла приводит к образованию промежуточной аммонийной соли А. Соль А хорошо детектируется в спектрах ЯМР <sup>19</sup>F: -60,2 д (CF<sub>3</sub>), -94,4 к (CF) [для соли из 1а], -94,8 т (CF), -108 ÷ -120 ш.д (CF<sub>2</sub>), -138,8 ш (HCF<sub>2</sub>) [для соли из 1б]. Элиминирование атома серы и образование соединений 2 происходит после добавления к раствору соли А избытка алкилгалогенида. С препаративной точки зрения удобнее вместо избытка вторичного амина использовать избыток триэтиламина, соотношение реагентов при этом состав-

ляет: дитиолтион:вторичный амин:триэтиламин: алкилгалогенид (1:1:3:3).

Соединения 2 можно получить также из синтезированных ранее [4] иминиевых солей 3 путем восстановления сульфидом натрия и алкилирования промежуточной соли алкилгалогенидом, что было установлено нами на примере получения соединения 2е. На первой стадии образуется интермедиат Б, что видно по характерным сигналам в спектре ЯМР <sup>19</sup>F, аналогичным сигналам солей А. Последующее алкилирование соли Б бромистым этилом дает соединение 2е (схема 2).

Соединения 2 — желтые или оранжевые масла, которые очищали колоночной хроматографией на силикагеле. Положение сигналов ядер фрагмента R<sub>F</sub>-C=C(F)-C(S)-N в спектрах ЯМР <sup>19</sup>F и <sup>13</sup>C для соединений 2 близки, а мультиплетность (константы J<sub>CF</sub>) одинаковая (табл. 2). Особенностью



R<sub>F</sub> = H(CF<sub>2</sub>)<sub>2</sub>

Схема 2

Таблиця 2

## Параметри спектрів ЯМР соединений 2

№ соединения	Спектры ПМР ( $\text{CDCl}_3$ ), $\delta$ , м.д.	Спектры ЯМР $^{19}\text{F}$ ( $\text{CDCl}_3$ ), $\delta$ , м.д.	Спектры ЯМР $^{13}\text{C}$ ( $\text{CDCl}_3$ ), $\delta$ , м.д.
2а	4,25, 3,85, 3,79 и 3,67 м (8Н, 2 $\text{OCH}_2$ + 2 $\text{NCH}_2$ ), 2,34 д. (3Н, $\text{CH}_3$ , $^5\text{J}_{\text{HF}}$ 1,5 Гц)	-60,93 д (3F, $\text{CF}_3$ , $^4\text{J}_{\text{FF}}$ 22,7 Гц), -73,23 д (1F, CF, $^4\text{J}_{\text{FF}}$ 22,7 Гц)	17,21 д ( $\text{CH}_3$ , $^4\text{J}_{\text{CF}}$ 2,6 Гц), 47,50 и 52,06 с (2 $\text{NCH}_2$ ), 65,89 и 66,28 с (2 $\text{OCH}_2$ ), 104,42 к.д. ( $\underline{\text{C}}=\text{CF}$ , $^2\text{J}_{\text{CF}}$ 35,2, $^2\text{J}_{\text{CF}}$ 10,5 Гц), 122,50 к.д. ( $\text{CF}_3$ , $\text{J}_{\text{CF}}$ 275,1, $^3\text{J}_{\text{CF}}$ 3,2 Гц), 159,60 д.к. (CF, $\text{J}_{\text{CF}}$ 299,7, $^3\text{J}_{\text{CF}}$ 21 Гц), 184,18 д. ( $\text{C}=\text{S}$ , $^2\text{J}_{\text{CF}}$ 26,7 Гц)
2б	6,05 т.т.д (1Н, $\text{HCF}_2$ , $^2\text{J}_{\text{HF}}$ 53,6, $^3\text{J}_{\text{HF}}$ 4,2, $^5\text{J}_{\text{HF}}$ 0,9 Гц), 4,23 м (2Н, $\text{OCH}_2$ ), 3,82-3,64 м (6Н, $\text{OCH}_2$ + 2 $\text{NCH}_2$ ), 2,31 д (3Н, $\text{CH}_3$ , $^5\text{J}_{\text{HF}}$ 1,5 Гц)	-73,09 м (1F, CF), $\delta_{\text{A}}$ -110,94 д (1F, $\text{CEAF}_B$ , J <sub>AB</sub> 276,0 Гц), $\delta_{\text{B}}$ -114,48 д.д. (1F, $\text{CFAE}_B$ , J <sub>AB</sub> 276,0, $^4\text{J}_{\text{FF}}$ 24,8 Гц), $\delta_{\text{A}}$ -135,78 д.д. (1F, $\text{HCEAF}_B$ , J <sub>AB</sub> 297,3, $^2\text{J}_{\text{HF}}$ 53,6 Гц), $\delta_{\text{B}}$ -138,43 д.д. (1F, $\text{HCFAE}_B$ , J <sub>AB</sub> 297,3, $^2\text{J}_{\text{HF}}$ 53,6 Гц)	17,69 д ( $\text{CH}_3$ , $^4\text{J}_{\text{CF}}$ 2,2 Гц), 47,60 и 52,07 с (2 $\text{CH}_2\text{N}$ ), 66,00 и 66,37 с (2 $\text{CH}_2\text{O}$ ), 104,53 т.д. ( $\underline{\text{C}}=\text{CF}$ , $^2\text{J}_{\text{CF}}$ 27,9, $^2\text{J}_{\text{CF}}$ 10,7 Гц), 109,54 т.т.д. ( $\text{HCF}_2$ , $\text{J}_{\text{CF}}$ 251,6, $^2\text{J}_{\text{CF}}$ 37,4, $^4\text{J}_{\text{CF}}$ 4,1 Гц), 114,73 т.т.д. ( $\text{CF}_2$ , $\text{J}_{\text{CF}}$ 252,6, $^2\text{J}_{\text{CF}}$ 28,2, $^3\text{J}_{\text{CF}}$ 4,0 Гц), 159,19 д.т. (CF, $\text{J}_{\text{CF}}$ 298,9, $^3\text{J}_{\text{CF}}$ 4,2 Гц), 184,66 д. ( $\text{C}=\text{S}$ , $^2\text{J}_{\text{CF}}$ 27,5 Гц)
2в	5,84 м (1Н, =CH), 5,23 д (1Н, =CH <sub>2</sub> , $^3\text{J}_{\text{HH}}$ 17,0 Гц), 5,15 д (1Н, =CH <sub>2</sub> , $^3\text{J}_{\text{HH}}$ 10,0 Гц), 4,25-3,68 м (8Н, 2 $\text{OCH}_2$ + 2 $\text{NCH}_2$ ), 3,49 д (2Н, $\text{SCH}_2$ , $^5\text{J}_{\text{HF}}$ 7,2 Гц)	-60,49 д (3F, $\text{CF}_3$ , $^4\text{J}_{\text{FF}}$ 20,5 Гц), -71,84 д (1F, CF, $^4\text{J}_{\text{FF}}$ 20,3 Гц)	37,75 д ( $\text{SCH}_2$ , $^4\text{J}_{\text{CF}}$ 2,3 Гц), 47,68 и 52,22 с (2 $\text{NCH}_2$ ), 66,07 и 66,48 с (2 $\text{OCH}_2$ ), 104,15 д.к. ( $\underline{\text{C}}=\text{CF}$ , $^2\text{J}_{\text{CF}}$ 36,0, $^2\text{J}_{\text{CF}}$ 10,1 Гц), 119,58 с (=CH <sub>2</sub> ), 122,46 к.д. ( $\text{CF}_3$ , $\text{J}_{\text{CF}}$ 275,0, $^3\text{J}_{\text{CF}}$ 3,0 Гц), 132,31 с (=CH), 159,36 д.к. (CF, $\text{J}_{\text{CF}}$ 299,8, $^3\text{J}_{\text{CF}}$ 2,3 Гц), 184,47 д. ( $\text{C}=\text{S}$ , $^2\text{J}_{\text{CF}}$ 26,7 Гц)
2г	6,05 т.т. (1Н, $\text{HCF}_2$ , $^2\text{J}_{\text{HF}}$ 53,4, $^3\text{J}_{\text{HF}}$ 3,8 Гц), 5,84 м (1Н, =CH), 5,23 д (1Н, =CH <sub>2</sub> , $^3\text{J}_{\text{HH}}$ 16,8 Гц), 5,15 д (1Н, =CH <sub>2</sub> , $^3\text{J}_{\text{HH}}$ 10,1 Гц), 4,25-3,67 м (8Н, 2 $\text{OCH}_2$ + 2 $\text{NCH}_2$ ), 3,52 д (2Н, $\text{SCH}_2$ , $^5\text{J}_{\text{HF}}$ 7,3 Гц)	-72,07 м (1F, CF), $\delta_{\text{A}}$ -110,61 д (1F, $\text{CEAF}_B$ , J <sub>AB</sub> 275,0 Гц), $\delta_{\text{B}}$ -113,93 д.д. (1F, $\text{CFAE}_B$ , J <sub>AB</sub> 275,0, $^4\text{J}_{\text{FF}}$ 23,0 Гц), $\delta_{\text{A}}$ -135,72 д.д. (1F, $\text{HCEAF}_B$ , J <sub>AB</sub> 296,2, $^2\text{J}_{\text{HF}}$ 53,4 Гц), $\delta_{\text{B}}$ -138,04 д.д. (1F, $\text{HCFAE}_B$ , J <sub>AB</sub> 296,2, $^2\text{J}_{\text{HF}}$ 53,4, $^5\text{J}_{\text{HF}}$ 8,0 Гц)	38,17 д ( $\text{CH}_2\text{S}$ , $^4\text{J}_{\text{CF}}$ 2,4 Гц), 47,69 и 52,14 с (2 $\text{CH}_2\text{N}$ ), 66,06 и 66,45 с (2 $\text{CH}_2\text{O}$ ), 104,15 т.д. ( $\underline{\text{C}}=\text{CF}$ , $^2\text{J}_{\text{CF}}$ 28,7, $^2\text{J}_{\text{CF}}$ 10,6 Гц), 109,73 т.т.д. ( $\text{HCF}_2$ , $\text{J}_{\text{CF}}$ 252,0, $^2\text{J}_{\text{CF}}$ 37,8, $^4\text{J}_{\text{CF}}$ 4,4 Гц), 114,54 т.т.д. ( $\text{CF}_2$ , $\text{J}_{\text{CF}}$ 252,6, $^2\text{J}_{\text{CF}}$ 28,6, $^3\text{J}_{\text{CF}}$ 4,0 Гц), 119,53 с (=CH <sub>2</sub> ), 132,36 с (=CH), 159,58 д.т. (CF, $\text{J}_{\text{CF}}$ 299,2, $^3\text{J}_{\text{CF}}$ 4,5 Гц), 184,79 д. ( $\text{C}=\text{S}$ , $^2\text{J}_{\text{CF}}$ 27,3 Гц)
2д	5,84 м (1Н, =CH), 5,23 д (1Н, =CH <sub>2</sub> , $^3\text{J}_{\text{HH}}$ 17,1 Гц), 5,13 д (1Н, =CH <sub>2</sub> , $^3\text{J}_{\text{HH}}$ 10,0 Гц), 4,00-3,55 м (4Н, 2 $\text{NCH}_2$ ), 3,51 д (2Н, $\text{SCH}_2$ , $^5\text{J}_{\text{HF}}$ 7,2 Гц)	-60,53 д (3F, $\text{CF}_3$ , $^4\text{J}_{\text{FF}}$ 20,5 Гц), -72,07 д (1F, CF, $^4\text{J}_{\text{FF}}$ 20,3 Гц)	10,40 и 13,72 с (2 $\text{CH}_3$ ), 37,61 д ( $\text{SCH}_2$ , $^4\text{J}_{\text{CF}}$ 2,3 Гц), 103,13 к.д. ( $\underline{\text{C}}=\text{CF}$ , $^2\text{J}_{\text{CF}}$ 35,7, $^2\text{J}_{\text{CF}}$ 10,6 Гц), 119,30 с (=CH <sub>2</sub> ), 122,55 к.д. ( $\text{CF}_3$ , $\text{J}_{\text{CF}}$ 275,0, $^3\text{J}_{\text{CF}}$ 3,2 Гц), 132,39 с (=CH), 160,42 д.к. (CF, $\text{J}_{\text{CF}}$ 300,1, $^3\text{J}_{\text{CF}}$ 3,3 Гц), 184,19 д. ( $\text{C}=\text{S}$ , $^2\text{J}_{\text{CF}}$ 26,7 Гц)
2е	6,06 т.т.д (1Н, $\text{HCF}_2$ , $^2\text{J}_{\text{HF}}$ 53,7, $^3\text{J}_{\text{HF}}$ 4,4, $^5\text{J}_{\text{HF}}$ 1,2 Гц), 4,14 ш (1Н, $\text{SCH}_2$ ), 3,82 ш (1Н, $\text{SCH}_2$ ), 3,54 м (2Н, $\text{NCH}_2$ ), 2,89 д.м (2Н, $\text{NCH}_2$ , $^4\text{J}_{\text{HF}}$ 21,6 Гц), 1,31 и 1,27 т (6Н, 2 $\text{CH}_3$ , $^3\text{J}_{\text{HH}}$ 7,1 Гц), 1,22 т (3Н, $\text{SCH}_2\text{CH}_3$ , $^3\text{J}_{\text{HH}}$ 7,5 Гц)	-72,90 м (1F, CF), $\delta_{\text{A}}$ -110,64 д (1F, $\text{CEAF}_B$ , J <sub>AB</sub> 276,7 Гц), $\delta_{\text{B}}$ -114,18 д.д. (1F, $\text{CFAE}_B$ , J <sub>AB</sub> 276,6, $^4\text{J}_{\text{FF}}$ 25,7 Гц), $\delta_{\text{A}}$ -135,78 д.д. (1F, $\text{HCEAF}_B$ , J <sub>AB</sub> 296,4, $^2\text{J}_{\text{HF}}$ 53,7 Гц), $\delta_{\text{B}}$ -138,21 д.д. (1F, $\text{HCFAE}_B$ , J <sub>AB</sub> 296,4, $^2\text{J}_{\text{HF}}$ 53,7 Гц)	10,34, 13,62 и 14,02 с (3 $\text{CH}_3$ ), 29,27 д ( $\text{SCH}_2$ , $^4\text{J}_{\text{CF}}$ 2,3 Гц), 45,14 и 48,45 с (2 $\text{NCH}_2$ ), 103,18 т.д. ( $\underline{\text{C}}=\text{CF}$ , $^2\text{J}_{\text{CF}}$ 27,8, $^2\text{J}_{\text{CF}}$ 10,7 Гц), 109,63 т.т.д. ( $\text{HCF}_2$ , $\text{J}_{\text{CF}}$ 252,2, $^2\text{J}_{\text{CF}}$ 37,7, $^4\text{J}_{\text{CF}}$ 5,2 Гц), 114,64 т.т.д. ( $\text{CF}_2$ , $\text{J}_{\text{CF}}$ 252,6, $^2\text{J}_{\text{CF}}$ 29,1, $^3\text{J}_{\text{CF}}$ 4,0 Гц), 160,06 д.т. (CF, $\text{J}_{\text{CF}}$ 296,0, $^3\text{J}_{\text{CF}}$ 4,5 Гц), 184,50 д. ( $\text{C}=\text{S}$ , $^2\text{J}_{\text{CF}}$ 27,8 Гц)
2ж	7,73 и 7,19 д (4Н, Ar), 6,02 т.т (1Н, $\text{HCF}_2$ , $^2\text{J}_{\text{HF}}$ 53,6, $^3\text{J}_{\text{HF}}$ 4,1 Гц), 4,07 ш (2Н, $\text{SCH}_2$ ), 3,46 и 3,20 с (6Н, 2 $\text{NCH}_3$ )	-71,98 м (1F, CF), $\delta_{\text{A}}$ -110,74 д (1F, $\text{CEAF}_B$ , J <sub>AB</sub> 275,8 Гц), $\delta_{\text{B}}$ -114,10 д (1F, $\text{CFAE}_B$ , J <sub>AB</sub> 275,8 Гц), $\delta_{\text{A}}$ -135,80 д.д. (1F, $\text{HCEAF}_B$ , J <sub>AB</sub> 295,1, $^2\text{J}_{\text{HF}}$ 53,6 Гц), $\delta_{\text{B}}$ -138,04 д.д. (1F, $\text{HCFAE}_B$ , J <sub>AB</sub> 295,1, $^2\text{J}_{\text{HF}}$ 53,6 Гц)	

спектров ЯМР  $^{19}\text{F}$  и  $^1\text{H}$  является проявление неэквивалентности для ядер фтора дифторометиленовых и протонов метиленовых групп соответственно. Это связано, по-видимому, с наличием аксиальной хиральности в соединениях 2, которая обусловлена заторможенным вращением вокруг связей углерод-углерод и углерод-азот во фрагменте  $=\text{C}-\text{C}(\text{S})-\text{N}$ . Такая хиральность изучена для тиоамидов акриловой кислоты [4]. В растворе соединения 2 существуют, согласно данным спектроскопии ЯМР, в виде только одного стереоизо-

мера. С помощью рентгеноструктурного исследования одного из этих соединений — 3-(4-бромбензилсульфанил)-2,4,4,5,5-пентафтор-1-морфолин-4-ил-пент-2-ен-1-тиона 2з — было показано, что в кристаллическом виде оно существует в виде Z-изомера [торсионный угол C(1)-C(2)-C(3)-S(1) 8,9°]. Общий вид молекулы 2з, а также основные длины связей и валентные углы приведены на рис.

Молекула имеет неплоскую структуру, характеризующуюся торсионными углами N(1)-C(1)-C(2)-C(3) — 100,2°, C(1)-C(2)-C(3)-C(4) — 173,9°,

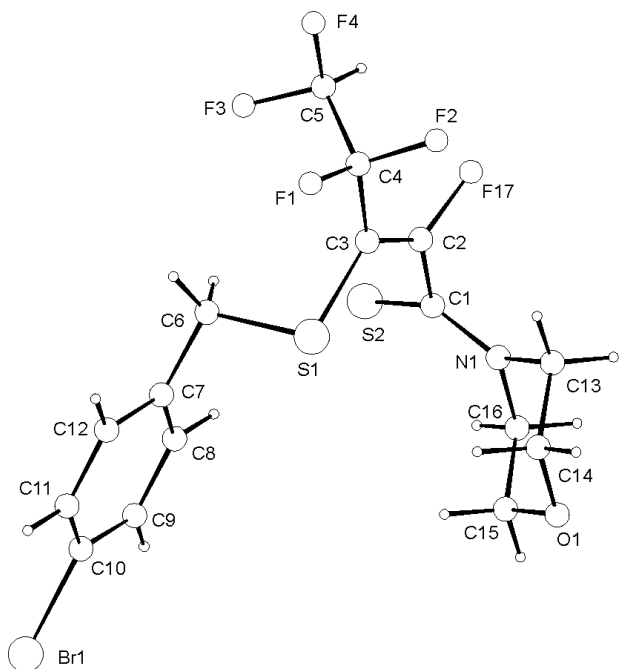


Рис. Общий вид молекулы 2з. Основные длины связей ( $\text{\AA}$ ) и валентные углы (град.): C(1)-C(2) 1,504(6), C(1)-N(1) 1,324(6), C(1)-S(2) 1,651(5), C(2)-C(3) 1,317(7), C(2)-F(17) 1,341(5), C(3)-C(4) 1,516(6), C(3)-S(1) 1,763(5), C(6)-S(1) 1,833(6), C(2)-C(1)-N(1) 116,5(4), C(2)-C(1)-S(2) 115,8(4), N(1)-C(1)-S(2) 127,7(4), C(1)-C(2)-C(3) 128,2(4), C(1)-C(2)-F(17) 111,1(4), C(3)-C(2)-F(17) 120,7(4), C(2)-C(3)-C(4) 120,5(4), C(2)-C(3)-S(1) 117,5(4), C(4)-C(3)-S(1) 121,9(4), C(3)-S(1)-C(6) 101,6(3).

C(1)-C(2)-C(3)-S(1) 8,9°, C(2)-C(3)-C(4)-C(5) 64,2°, C(2)-C(3)-S(1)-C(6) — 101,6°, C(3)-S(1)-C(6)-C(7) 161,5°. Фрагмент, содержащий двойную связь C(2)-C(3), практически плоский (отклонение атомов от нодальной плоскости не превышает 0,08  $\text{\AA}$ ). При этом тиокарбонильная группа практически перпендикулярна этой плоскости [торсионный угол S(2)-C(1)-C(2)-C(3) составляет 83,0°]. Длины связей S(1)-C(3) 1,763(5)  $\text{\AA}$  и S(1)-C(6) 1,833(6)  $\text{\AA}$  и валентный угол C(3)-S(1)-C(6) 101,6(3)° близки к соответствующим значениям, найденным для молекул Ph-S-Me [S-C(sp<sup>2</sup>) 1,749(4)  $\text{\AA}$ , S-C(sp<sup>3</sup>) 1,803(4)  $\text{\AA}$ , CSC 105,6(7)°] [5] и H<sub>2</sub>C=CH-S-Me [S-C(sp<sup>2</sup>) 1,759(18)  $\text{\AA}$ , S-C(sp<sup>3</sup>) 1,795(8)  $\text{\AA}$ , CSC 102,1(5)°] [6].

В случае описанных в литературе [3] реакций незамещенного 1,2-дитиол-3-тиона с аминами промежуточно образующиеся аммониевые соли 3-аминонодитиоакриловой кислоты при дальнейшем кипячении с амином дают  $\beta$ -аминонитиоакриламиды. Мы нашли, что при кипячении дитиолтионов 1а,б с избытком амина протекают более сложные процессы, при которых происходит потеря атома фтора, находящегося в 4-ом положении дитиольного цикла. При этом строение образующихся продуктов зависит от длины полифторалкильного заместителя в 5-ом положении цикла. При кипячении с морфолином трифторметильное производное 1а образует тиоамид 4, а тетрафторэтильное производное 1б —  $\beta$ -тиоксокетенаминалль 5 (схема 3). Подобное направление реакции, приводящее к  $\beta$ -тиоксокетенаминалльям, реализуется при взаимодействии 4-фенил-1,2-дитиол-3-тиона с N,N'-дизамещенными этилендиаминами [7].

Тиоамид 4 выделен как смесь E,Z-изомеров в соотношении 1:4, разделить которые хроматографически без значительной потери выхода не удалось. В спектре ЯМР <sup>19</sup>F соединения 4 наблюдаются только синглеты CF<sub>3</sub>-групп двух изомеров. В спектре ПМР наблюдаются синглеты винильных протонов при 6,06 м.д. для основного изомера и 5,55 м.д. для минорного, а также мультиплеты двух разных морфолиновых колец. Неэквивалентность последних хорошо видна из спектра ЯМР <sup>13</sup>C, в котором наблюдается по три сигнала для углеродов NCH<sub>2</sub> и OCH<sub>2</sub> групп для обоих изомеров. Сигналы ядер углерода групп C=S изомеров проявляются как синглеты в области 193 м.д., а винильных ядер углерода фрагментов =C-CF<sub>3</sub> — в виде квартетов в области 136 м.д. с <sup>2</sup>J<sub>CF</sub> 30 Гц. Ядра углеродов фрагментов =CH представлены как квартеты при 115,1 м.д. с <sup>3</sup>J<sub>CF</sub> 5,1 Гц для основного изомера и как квартет при 113,7 м.д. с <sup>3</sup>J<sub>CF</sub> 3,1 Гц — для минорного. Столь незначительная разница в константах J(C-F) не позволяет сделать однозначное отнесение сигналов к определенному геометрическому изомеру.

Винильный протон соединения 5 в спектре ПМР проявляется как синглет при 6,2 м.д., а соответствующее ему ядро углерода =CH дает в спектре ЯМР <sup>13</sup>C триплет с <sup>3</sup>J<sub>CF</sub> 5,4 Гц при 106,7 м.д.

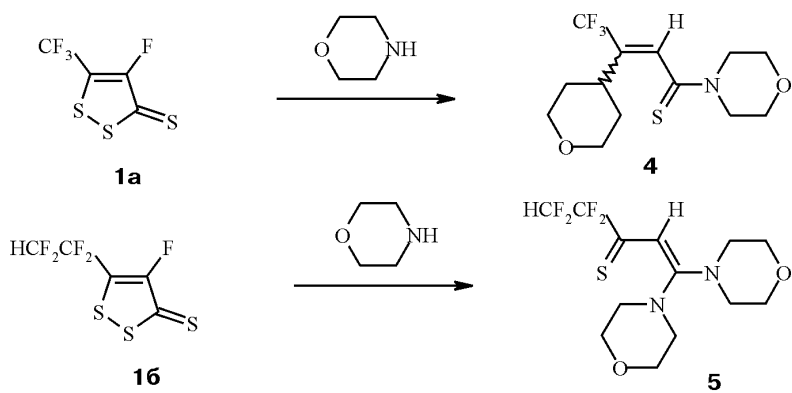


Схема 3

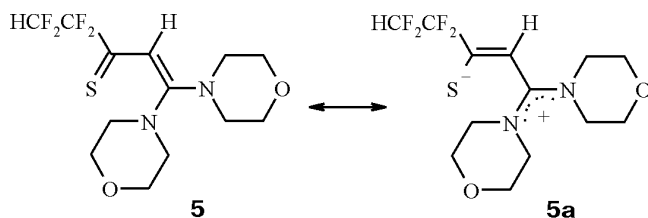


Схема 4

Самым слабопольным сигналом в спектре ЯМР  $^{13}\text{C}$  является тройной сигнал при 175,5 м.д. с  $^{2}\text{J}_{\text{CF}}$  20,5 Гц, который относится к ядру углерода тиокарбонильной группы, а синглет при 167,7 м.д. — к ядру углерода кетенаминального фрагмента  $=\text{CN}_2$ . Столь необычные величины химических сдвигов для этих атомов углерода, эквивалентность двух морфолиновых колец в спектрах ЯМР  $^1\text{H}$  и  $^{13}\text{C}$ , а также тот факт, что соединение 5 — высокоплавкий кристаллический продукт, можно объяснить существенным вкладом ионной структуры 5a (схема 4).

Для объяснения путей образования соединений 4 и 5 мы предлагаем рассматривать их как продукты присоединения морфолина к промежуточно образующимся ацетиленовым производным В и Г (схема 5). Присоединение происходит достаточно региоселективно (но не стереоселективно для соединения 4), так как в спектрах ЯМР  $^{19}\text{F}$  реакционных смесей сигналы продуктов 4 (как смеси E,Z-изомеров) и 5 являются основными. Промежуточные ацетилены В и Г, в свою очередь, образуются при термических превращениях анионов А, поскольку выше мы показали, что начальным интермедиатом реакций дитиолтионов 1 с аминами являются соли А. Направление термических превращений солей А, несомненно, зависит от длины полифторалкильного заместителя и,

по-видимому, в случае более акцепторного тетрафторэтильного заместителя превращение в ацетилен Г через анион Д является термодинамически более выгодным процессом.

Следует отметить, что N-монозамещенные ариламины в условиях, аналогичных получению соединений 3-5, с дитиолтионами 1a,b не реагируют. Также не удается заместить алкилсульфидную группу в соединениях 2 на аминную; например, при кипячении с избытком морфолина в бензоле соединения 2a,b не изменяются.

#### Експериментальная часть

Спектры ЯМР регистрировали на спектрометре Varian VXR-300 с рабочими частотами 299,943 ( $^1\text{H}$ ), 282,203 ( $^{19}\text{F}$ ) и 75,429 ( $^{13}\text{C}$ ) МГц. Внутренние стандарты — ТМС ( $\delta_{\text{H}}$  и  $\delta_{\text{C}}$  0,00 м.д.) и гексафтобензол ( $\delta_{\text{F}}$  — 162,9 м.д.). Масс-спектры получали на приборе MX-1321. Для колоночной хроматографии использовали силикагель Merck 60 (40-63 мкм). ТСХ проводили на пластинах Silufol UV-254, проявление парами йода. Контроль за протеканием реакций проводили методом спектроскопии ЯМР  $^{19}\text{F}$ .

Рентгеноструктурное исследование монокристалла соединения 2з с линейными размерами  $0,51 \times 0,44 \times 0,31$  мм проведено при комнатной температуре на автоматическом четырехкружном дифрактометре Enraf-Nonius CAD-4 ( $\text{CuK}_{\alpha}$ -излучение, отношение скоростей сканирования  $2\theta/\omega = 1,2$ ,  $\theta_{\text{макс}} = 65^\circ$ , сегмент сферы  $0 \leq h \leq 18$ ,  $0 \leq k \leq 6$ ,  $-25 \leq l \leq 24$ ). Всего было собрано 3746 отражений, из которых 3251 являются симметрически независимыми ( $R_{\text{int}} = 0,044$ ). Кристаллы соединения (IIз) моноклинные,  $a = 15,670(6)$ ,  $b = 5,897(2)$ ,  $c =$

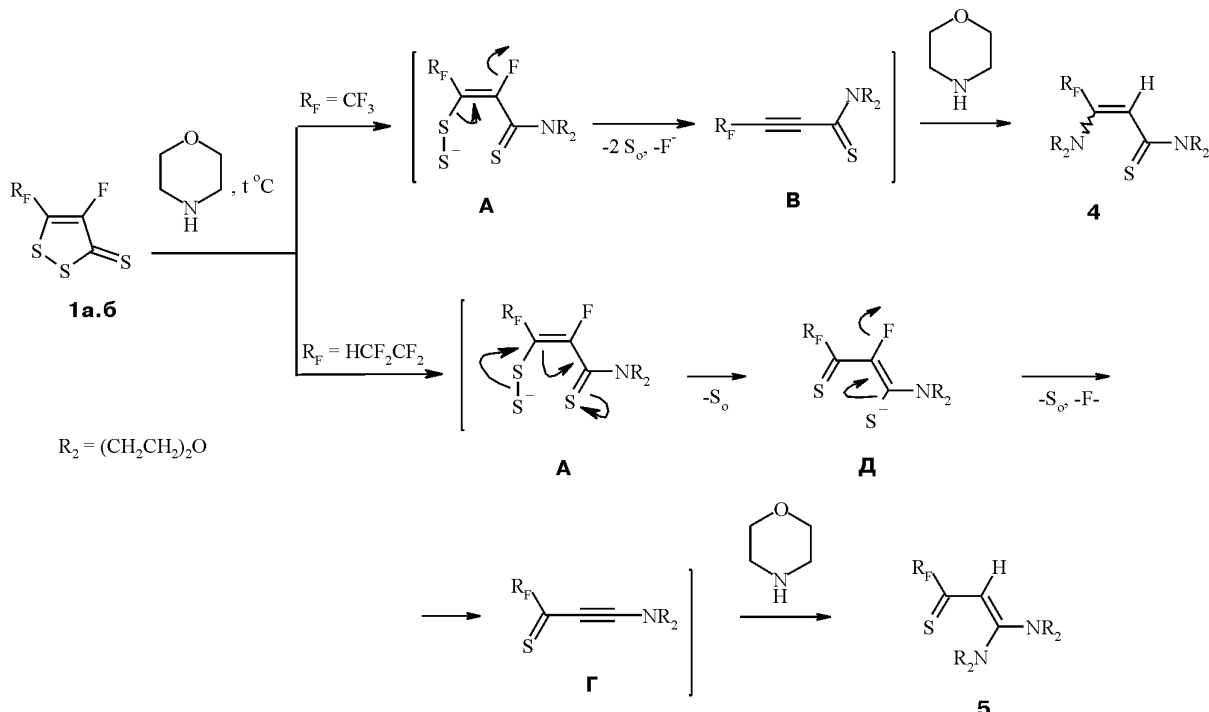


Схема 5

21,92(1) Å,  $\beta = 108,83(4)^\circ$ ,  $V = 1917(2)$  Å<sup>3</sup>,  $M = 476,33$ ,  $Z = 4$ ,  $d_{\text{выч}} = 1,65$  г/см<sup>3</sup>,  $\mu = 5,456$  см<sup>-1</sup>,  $F(000) = 952$ , пространственная группа P2<sub>1</sub>/n. Структура расшифрована прямым методом и уточнена методом наименьших квадратов в полноматричном анизотропном приближении с использованием комплекса программ CRYSTALS [8]. В уточнении использовано 2360 отражений с  $I > 3\sigma$  (I) (235 уточняемых параметров, число отражений на параметр — 10,0). Все атомы водорода были выявлены из разностного синтеза электронной плотности и включены в уточнение с фиксированными позиционными и тепловыми параметрами. Учет поглощения в кристалле был выполнен с помощью метода азимутального сканирования [9]. При уточнении использована весовая схема Чебышева [10] с четырьмя параметрами: 451, 686, 410 и 139. Окончательные значения факторов расходимости  $R = 0,063$  и  $Rw(F^2) = 0,151$ ,  $GOF = 0,944$ . Остаточная электронная плотность из разностного ряда Фурье 0,71 и — 0,37 е/Å<sup>3</sup>. Полный набор рентгеноструктурных данных, включая таблицы координат, задокументирован в Кембриджском банке структурных данных (CCDC 283508).

**Общая методика получения соединений 2.** К раствору 0,01 Моль дитиолтиона 1а,б в 15 мл бензола приливали при комнатной температуре и перемешивании смесь 0,01 Моль вторичного амина и 0,03 Моль (4,16 мл) триэтиламина, а затем 0,03 Моль соответствующего алкилгалогенида. Через 30 мин реакционную смесь выливали в 100 мл разбавленной соляной кислоты и экстрагировали хлористым метиленом (2x50 мл). Объединенные органические вытяжки сушили над Na<sub>2</sub>SO<sub>4</sub> и растворитель выпаривали. В случае соединения 2г после экстракции остатка небольшим количеством диэтилового эфира и выпаривания растворителя получен чистый продукт. Для остальных соединений остаток очищали колоночной хроматографией на силикагеле. Физико-химические и спектральные данные полученных соединений представлены в табл. 1, 2.

**Взаимодействие иминиевой соли 3 с Na<sub>2</sub>S.** К 3,28 г (0,01 Моль) соли 3 в 15 мл этанола прибавляли 3,6 г (0,015 Моль) Na<sub>2</sub>Sx9H<sub>2</sub>O и полученную смесь кипятили при перемешивании 30 мин. После охлаждения прибавляли к смеси 1,5 мл (0,02 Моль) бромистого этила. Через 30 мин реакционную смесь выливали в 100 мл воды и экстрагировали хлористым метиленом (2x50 мл). Объединенные органические вытяжки сушили Na<sub>2</sub>SO<sub>4</sub> и растворитель выпаривали. Остаток очищали колоночной хроматографией на силикагеле. Выход N,N-диэтилтиоамида 3-этилтиопент-2-еновой кислоты 2e — 58%.

**Общая методика получения соединений 4 и 5.** К раствору 0,01 Моль дитиолтиона 1а,б в 15 мл бензола при перемешивании приливали 0,05 Моль (5,0 мл) морфолина и смесь кипятили 20 мин. После охлаждения выливали в 100 мл разбавленной соляной кислоты, экстрагировали хлористым

метиленом (2x70 мл), объединенные органические вытяжки сушили Na<sub>2</sub>SO<sub>4</sub> и растворитель выпаривали. В остатке — сырые соединения 4, 5.

**4,4,4-Трифтор-1,3-диморфолино-4-илбут-2-ен-1-тион 4.** Остаток очищали колоночной хроматографией на силикагеле, элюент — CH<sub>3</sub>CN-CH<sub>3</sub>Cl, 1:10,  $R_f$  0,48. Смесь E,Z-изомеров (1:4). Желтое масло. Выход — 1,49 г (48%). Основной изомер. Спектр ЯМР <sup>1</sup>H (CDCl<sub>3</sub>),  $\delta$ , м.д.: 6,06 с (1H, =CH), 4,33 м (2H, OCH<sub>2</sub>), 3,8-3,7 м (10H, 3 OCH<sub>2</sub>, 2 NCH<sub>2</sub>), 3,11 м (4H, 2 NCH<sub>2</sub>). Спектр ЯМР <sup>13</sup>C (CDCl<sub>3</sub>),  $\delta$ , м.д.: 48,32 с (NCH<sub>2</sub>), 49,79 с (2 NCH<sub>2</sub>), 51,79 с (NCH<sub>2</sub>), 68,45 с (OCH<sub>2</sub>), 66,50 с (OCH<sub>2</sub>), 67,13 с (2 OCH<sub>2</sub>), 115,09 к (=CH, <sup>3</sup>J<sub>CF</sub> 5,1 Гц), 121,97 к (CF<sub>3</sub>, J<sub>CF</sub> 279,4 Гц), 136,70 к (C=CH, <sup>2</sup>J<sub>CF</sub> 29,6 Гц), 192,87 с (C=S). Спектр ЯМР <sup>19</sup>F (CDCl<sub>3</sub>),  $\delta$ , м.д.: -64,80 с (3F, CF<sub>3</sub>). Минорный изомер. Спектр ЯМР <sup>1</sup>H (CDCl<sub>3</sub>),  $\delta$ , м.д.: 5,55 с (1H, =CH), 4,33 м (2H, OCH<sub>2</sub>), 3,8-3,7 м (10H, 3 OCH<sub>2</sub>, 2 NCH<sub>2</sub>), 2,95 м (4H, 2 NCH<sub>2</sub>). Спектр <sup>13</sup>C (CDCl<sub>3</sub>),  $\delta$ , м.д.: 48,39 с (NCH<sub>2</sub>), 49,95 с (NCH<sub>2</sub>), 51,27 с (2 NCH<sub>2</sub>), 66,08 с (OCH<sub>2</sub>), 66,24 с (OCH<sub>2</sub>), 67,13 с (2 OCH<sub>2</sub>), 113,66 к (=CH, <sup>3</sup>J<sub>CF</sub> 3,1 Гц), 121,97 к (CF<sub>3</sub>, J<sub>CF</sub> 279,4 Гц), 135,83 к (C=CH, <sup>2</sup>J<sub>CF</sub> 30,6 Гц), 193,63 с (C=S). Спектр ЯМР <sup>19</sup>F (CDCl<sub>3</sub>),  $\delta$ , м.д.: -61,88 с (3F, CF<sub>3</sub>). Масс-спектр, m/z (I<sub>отн.</sub>, %): 310 (26) [M]<sup>+</sup>, 278 (40) [M-S]<sup>+</sup>, 86 (100) [N(CH<sub>2</sub>CH<sub>2</sub>)<sub>2</sub>O]<sup>+</sup>. Найдено, %: N — 9,08; S — 10,38. C<sub>12</sub>H<sub>17</sub>F<sub>3</sub>N<sub>2</sub>O<sub>2</sub>S. Вычислено, %: N — 9,03; S — 10,33.

**4,4,5,5-Тетрафтор-1,1-диморфолино-4-илпент-1-ен-3-тион 5.** Остаток кристаллизовали из этанола. Желтые кристаллы. Выход — 1,75 г (52%), Т.пл. — 214–215°C. Спектр ЯМР <sup>1</sup>H (CDCl<sub>3</sub>),  $\delta$ , м.д.: 6,63 т.т.д (1H, HCF<sub>2</sub>, <sup>2</sup>J<sub>HF</sub> 54,0, <sup>3</sup>J<sub>HF</sub> 5,8 Гц), 6,18 с (1H, =CH), 3,83 м (8H, 4 OCH<sub>2</sub>), 3,55 м (8H, 4 NCH<sub>2</sub>). Спектр <sup>13</sup>C (CDCl<sub>3</sub>),  $\delta$ , м.д.: 50,36 с (4 NCH<sub>2</sub>), 65,21 с (4 OCH<sub>2</sub>), 106,68 т (=CH, <sup>3</sup>J<sub>CF</sub> 5,4 Гц), 110,54 т.т (HCF<sub>2</sub>, J<sub>CF</sub> 253,1, <sup>2</sup>J<sub>CF</sub> 34,3 Гц), 113,83 т.т (CF<sub>2</sub>, J<sub>CF</sub> 255,2, <sup>2</sup>J<sub>CF</sub> 26,6 Гц), 167,75 с (=CN<sub>2</sub>), 175,49 т (C=S, <sup>2</sup>J<sub>CF</sub> 20,5 Гц). Спектр ЯМР <sup>19</sup>F (CDCl<sub>3</sub>),  $\delta$ , м.д.: — 117,90 с (2F, CF<sub>2</sub>), — 140,63 д (2F, HCF<sub>2</sub>, J<sub>HF</sub> 54,0 Гц). Масс-спектр, m/z (I<sub>отн.</sub>, %): 342 (32) [M]<sup>+</sup>, 309 (52) [M-SH]<sup>+</sup>, 224 (80) [M-S-HN(CH<sub>2</sub>CH<sub>2</sub>)<sub>2</sub>O]<sup>+</sup>, 86 (100) [N(CH<sub>2</sub>CH<sub>2</sub>)<sub>2</sub>O]<sup>+</sup>. Найдено, %: N — 8,15; S — 9,35. C<sub>13</sub>H<sub>18</sub>F<sub>4</sub>N<sub>2</sub>O<sub>2</sub>S. Вычислено, %: N — 8,18; S — 9,37.

#### Выводы

1. Установлено, что 4-фтор-5-полифторалкил-1,2-дитиол-3-тионы в реакциях с вторичными аминами с последующим алкилированием промежуточных продуктов дают 3-алкилсульфанилтиоакриламиды.

2. Направление реакции 4-фтор-5-полифторалкил-1,2-дитиол-3-тионов с избытком морфолина при кипячении в бензоле зависит от длины полифторалкильного заместителя, в результате чего образуются 4,4,4-трифтор-1,3-диморфолино-4-илбут-2-ен-1-тион или 4,4,5,5-тетрафтор-1,1-диморфолино-4-илпент-1-ен-3-тион.

### Література

1. Pedersen C.T. // *Adv. Heterocycl. Chem.* — 1982. — Vol. 31. — P. 63-113.
2. Pedersen C.T. // *Sulfur Rep.* — 1995. — Vol. 16. — P. 173-216.
3. Smutny E.J., Turner W., Morgan E.D., Robinson R. // *Tetrahedron*. — 1967. — Vol. 23. — P. 3785-3799.
4. Kutenberger M., Frieser M., Hofweber M., Mannschreck A. // *Tetrahedron: Asymm.* — 1998. — Vol. 9. — P. 3629-3645.
5. Samdal S., Seip H.M., Torgrimsen T. // *J. Mol. Struct.* — 1979. — Vol. 57. — P. 105-121.
6. Зарипов Н.М. // *Журн. структ. химии.* — 1976. — Т. 17. — С. 741-743.
7. Kang K.-T., Okazaki R., Inamoto N. // *Bull. Chem. Soc. Japan.* — 1979. — Vol. 52, №12. — P. 3640-3646.
8. Watkin D.J., Prout C.K., Carruthers J.R., Betteridge P.W. // *CRYSTALS, Issue 10, Chemical Crystallography Laboratory, Univ. of Oxford.* — 1996.
9. North A.C.T., Phillips D.C., Scott F., Mathews F.S. // *Acta Cryst. (A)*. — 1968. — Vol. 24, №2. — P. 351-359.
10. Carruthers J.R., Watkin D.J. // *Acta Cryst. (A)*. — 1979. — Vol. 35, №3. — P. 698-699.

Надійшла до редакції 29.09.2005 р.